

Адаптивные и робастные системы

PACS 02.30.Yy

© 2007 г. Б.Р. АНДРИЕВСКИЙ, д-р техн. наук
(Институт проблем машиноведения РАН, Санкт-Петербург),
В.О. НИКИФОРОВ, д-р техн. наук
(Санкт-Петербургский государственный университет информационных
технологий, механики и оптики),
А.Л. ФРАДКОВ, д-р техн. наук
(Институт проблем машиноведения РАН, Санкт-Петербург)

СИНХРОНИЗАЦИЯ НЕЛИНЕЙНЫХ НЕПАССИФИЦИРУЕМЫХ СИСТЕМ НА ОСНОВЕ АДАПТИВНЫХ НАБЛЮДАТЕЛЕЙ¹

Общий подход к синхронизации динамических систем, основанный на применении адаптивных наблюдателей и методе пассивации развивается на непасифицируемые нелинейные системы, в частности на системы, модель которых имеет относительный порядок, больший единицы. Предложены две схемы синхронизации: на основе адаптивных наблюдателей с расширенной ошибкой и на основе алгоритмов настройки повышенного порядка. Решение задачи синхронизации опирается на новую каноническую форму адаптивного наблюдателя. Установлены условия сходимости оценок параметров к истинным значениям при отсутствии помех в системе, а также показана грубость процесса адаптивной синхронизации по отношению к ограниченной ошибке измерений. На примере управляемой системы Лоренца продемонстрирована возможность применения предложенного метода для передачи информации модуляцией хаотического сигнала.

1. Введение

Среди свойств взаимодействующих колебательных систем важное место занимает свойство *синхронизации*, имеющее многочисленные применения в механике и физике [1–3], в вибрационных технологиях [1, 2], в радиотехнике и технике связи [4, 5] и в других областях. В последние годы возрастает интерес к задачам *управления синхронизацией*, состоящим в обеспечении синхронного протекания процессов в системе путем введения дополнительных обратных связей. В частности, с начала 1990-х г.г. значительно вырос интерес к так называемой *хаотической синхронизации*, при которой каждая из синхронизируемых подсистем продолжает совершать сложные, хаотические колебания и после установления синхронного режима [6–8].

¹ Работа частично финансировалась Российским фондом фундаментальных исследований, гранты 05-01-00869, 06-08-01386 и научной программой Президиума РАН № 22 «Процессы управления» (проект 1.8).

Предложен целый ряд способов использования эффекта хаотической синхронизации для повышения скрытности и надежности передачи информации (см., например, обзоры и специальные выпуски журналов [9–16]). В этом направлении получен ряд результатов по применению адаптивных методов [17–20]. Аналогично задаче об адаптивном управлении синхронизацией, в [8, 16, 21–24] рассматривается задача о синхронизации на основе *адаптивного наблюдателя*. Возникающие задачи отличаются от традиционно рассматриваемых задач наблюдения тем, что модель объекта наблюдения нелинейна и, возможно, неустойчива.

В [17, 20] предложен новый метод адаптивной синхронизации, базирующийся на использовании функций Ляпунова и пассивации. Этот метод был развит к задачам синхронизации на основе адаптивных наблюдателей для систем связи [21–23, 25, 26]. Однако применение подхода [17, 20] ограничивается условием *пассивируемости* объекта (источника сигнала, или «ведущей системы»). Это условие, в частности, означает, что относительная степень объекта не должна превышать единицу. Выполнение требования пассивируемости препятствует повышению скрытности передаваемой информации, так как скачкообразное изменение полезного сигнала вызывает легко детектируемый скачок производной переданного сигнала [27].

Ниже метод синхронизации на основе адаптивных наблюдателей развивается на *непассивируемые* системы, в том числе на системы с относительной степенью линейной части, превышающей единицу. Предлагаемое решение опирается на недавние результаты в области теории адаптивного управления нелинейными объектами [22, 28–30], в том числе на структуру адаптивных наблюдателей и новые классы алгоритмов адаптации, предложенные в [31, 32].

Отметим, что ранее, в [27, 33], были предложены некоторые методы адаптивной синхронизации для систем с относительной степенью, большей единицы. Однако алгоритм синхронизации [33] использует обратную связь по состоянию, а не по выходу объекта и, кроме того, в нем предполагается, что известны все параметры источника сигнала (ведущей системы). Подход, используемый в [27] базируется на использовании канонических форм линейных наблюдателей состояния (см., например, [34]). Синтез же *нелинейных* наблюдателей на основе [27] применим лишь к конкретным видам систем и требует привлечения специальных приемов для каждого вида нелинейности. В частности неясно, каким образом метод [27] можно применить к синхронизации систем Лоренца. Наконец, результаты [27] не позволяют учесть погрешности измерений передаваемого сигнала.

В отличие от [27, 33] в данной статье предлагается общий метод адаптивной синхронизации, который позволяет также осуществлять синхронизацию при наличии ограниченных шумов в канале связи путем робастификации («огрубления») алгоритмов адаптации. Приведенные в данной статье результаты моделирования демонстрируют более высокое быстродействие и робастность адаптивного наблюдателя («ведомой системы») по сравнению с изложенным в [25] методом. Предварительные результаты работы были представлены в [35–37].

Математическая постановка задачи дается в разделе 2. Общий метод синтеза адаптивных наблюдателей для систем с относительной степенью, большей единицы, изложен и обоснован в разделах 3, 4. Сначала для удобства изложения в разделе 3 рассматривается более простой случай отсутствия помех в системе. Для него приводятся базовые структуры адаптивных наблюдателей и выводятся условия сходимости. В разделе 4 выполняется модификация базовых алгоритмов, которая позволяет обеспечить робастность системы при действии внешних возмущений (шума измерений). В разделе 5 показано применение предложенного метода для синхронизации управляемых систем Лоренца. Для этого примера приводятся результаты моделирования, которые согласуются с теоретическими положениями и дают количественные сведения о процессах в системе. В разделе 5 также демонстрируется

применение предложенного метода адаптивной синхронизации для синтеза алгоритмов передачи информации модуляцией хаотических сигналов.

2. Постановка задачи

Следуя [21], считаем, что динамический объект (*ведущая система*) задается уравнениями состояния

$$(2.1) \quad \dot{x} = Ax + \varphi_0(y) + b\varphi(y)^T\theta, \quad y = c^T x,$$

$$(2.2) \quad y_r = y + \xi,$$

где $x \in \mathbb{R}^n$ – вектор состояния, значения которого не передаются ведомой системе,² y – выход объекта, $y_r = y + \xi(t)$ – измеряемый выходной сигнал, поступающий на вход ведомой системы, $\xi(t)$ – погрешность измерений (аддитивная помеха в канале связи между ведущей и ведомой системами), $\theta \in \mathbb{R}^m$ – неизвестный вектор параметров объекта (в системах телекоммуникации этот вектор содержит передаваемую информацию). Предполагается, что нелинейные зависимости $\varphi_0(y)$, $\varphi(y)$, а также матрица A и векторы b , c известны и могут быть использованы алгоритмом синхронизации, реализованным в ведомой системе.

Далее сделаем следующие предположения относительно объекта (2.1).

Предположение 1. При любых ограниченных начальных условиях $x(0)$ и любом допустимом значении вектора θ вектор состояния $x(t)$ является ограниченной функцией времени.

Предположение 2. Функции $\varphi_0(y)$, $\varphi(y)$ ограничены для любых ограниченных y .

В этих предположениях рассматривается задача синтеза адаптивного наблюдателя, представляющего собой динамическую систему вида

$$(2.3) \quad \dot{z} = F(z, y_r), \quad \hat{\theta} = h(z, y_r),$$

который обеспечивает выполнение целевого условия $\overline{\lim}_{t \rightarrow \infty} |\theta - \hat{\theta}| \leq \delta$.

3. Синтез адаптивных наблюдателей при отсутствии возмущений

В данном разделе погрешность измерений не учитывается, т.е. считается, что в (2.3) $\xi(t) \equiv 0$.

Ограничимся далее частной формой адаптивного наблюдателя (2.3) (*ведомой системы*), имеющей вид:

$$(3.1) \quad \dot{\hat{x}} = A\hat{x} + \varphi_0(y) + b\varphi(y)^T\hat{\theta} + k(y - \hat{y}), \quad \hat{y} = c^T\hat{x},$$

$$(3.2) \quad \dot{\hat{\theta}} = F_{\theta}(\hat{\theta}, \hat{x}, y),$$

где \hat{x} и \hat{y} являются оценками переменных x и y , вектор $z = \text{col}(x, \hat{\theta})$, а $\hat{\theta}$ есть вектор настраиваемых параметров, служащий оценкой вектора θ параметров ведущей системы.

Структура адаптивного наблюдателя (3.1), (3.2) предложена в [21, 23], где установлены условия сходимости для случая, когда линейная часть объекта (ведущей

² В дальнейшем, пользуясь аналогиями с системами телекоммуникации, будем говорить, что ведомая система получает сигнал от ведущей через *канал связи*.

системы) пассивизируема. Действие ограниченных возмущений при таком объекте рассмотрено в [25].

Условие пассивизируемости налагает серьезные ограничения на свойства объекта: относительная степень модели объекта r должна равняться единице. Это сужает область применимости метода адаптивных наблюдателей и мотивирует поиск решений задачи построения адаптивных наблюдателей для систем, имеющих $r > 1$. Ниже с учетом сделанных выше предположений предлагается два метода решения поставленной задачи.

Первый метод основывается на использовании подхода *расширенной ошибки*, рассмотренного в [22, 38, 39], а второй – на использовании *алгоритмов настройки высокого порядка* [22, 28, 31, 32, 40].

Использование расширенной ошибки осуществляется с помощью адаптивного наблюдателя вида (3.1), (3.2), в котором вектор k выбирается из условия гурвицевости матрицы $F = A - kc^T$. Для вывода алгоритма адаптации найдем сначала так называемую *модель ошибки*. С этой целью продифференцируем ошибку оценивания $\varepsilon = x - \hat{x}$ с учетом выражений (2.1) и (3.1). Получим, что

$$(3.3) \quad \dot{\varepsilon} = F\varepsilon + b\varphi(t)^T\tilde{\theta}, \quad e = c^T\varepsilon,$$

где *регрессор* $\varphi(t) = \varphi(y(t))$, $\tilde{\theta} = \theta - \hat{\theta}$ – ошибка оценивания параметра, а $e = y - \hat{y}$ – невязка между выходами объекта и наблюдателя. Уравнение ошибки (3.3) перепишем в виде

$$(3.4) \quad e = H(p)[\varphi(t)^T\tilde{\theta}],$$

где $p = d/dt$ – оператор дифференцирования по времени, а передаточная функция $H(s)$ системы (3.4), $H(s) = c^T(sI - F)^{-1}b$, асимптотически устойчива.

Следуя [22, 38, 39], используем алгоритм адаптации следующего вида:

$$(3.5) \quad \dot{\hat{\theta}} = \gamma\omega(t)^T\hat{e},$$

где $\gamma > 0$ – коэффициент усиления алгоритма, $\omega(t) = H(p)[\varphi(t)]$ – регрессор, пропущенный через фильтр с передаточной функцией $H(s)$, а \hat{e} есть *расширенный сигнал ошибки*, который определяется следующим выражением:

$$(3.6) \quad \hat{e} = e + H(p)[\varphi(t)^T\hat{\theta}] - \omega(t)^T\hat{\theta}.$$

Далее используем

Определение 1 ([38, 41]). *Вектор-функция $f : [0, \infty) \rightarrow \mathbb{R}^m$ называется постоянно возбуждающей (ПВ) на $[0, \infty)$, если она измерима и ограничена на $[0, \infty)$ и существуют $\alpha > 0$, $T > 0$ такие, что*

$$(3.7) \quad \int_t^{t+T} f(s)f(s)^T ds \geq \alpha I$$

для всех $t \geq 0$.

Смысл условия ПВ состоит в том, что вектор $f(t)$ с ростом t не приближается ни к какой гиперплоскости в пространстве \mathbb{R}^m , т.е. компоненты вектора $f(t)$ линейно независимы в усиленном смысле.

Сформулируем теорему, устанавливающую условия осуществления синхронизации на основе адаптивного наблюдателя в отсутствие погрешностей измерений.

Теорема 1. Замкнутая система, состоящая из ведущей системы (2.1), настраиваемого наблюдателя (3.1) и алгоритма адаптации (3.5), (3.6), обладает следующими свойствами:

i) при любых начальных условиях и любом $\gamma > 0$ все переменные, входящие в уравнения замкнутой системы, ограничены и выполнено

$$(3.8) \quad \lim_{t \rightarrow \infty} (y(t) - \hat{y}(t)) = 0;$$

ii) если вектор-функция $\varphi(t)$ удовлетворяет условию ПВ, а передаточная функция $H(s)$ минимально-фазовая, то (кроме (i)) выполнено также

$$(3.9) \quad \lim_{t \rightarrow \infty} |\theta - \hat{\theta}(t)| = 0.$$

Доказательство теоремы 1 дано в Приложении.

Отметим, что для проверки условия ПВ для функции $\varphi(t) = \varphi(y(t))$ требуется проверить линейную независимость компонент $\varphi(t)$. Если $y(t)$ – скаляр, то условие линейной зависимости $\sum_{i=1}^k m\varphi_i(y)C_i$ превращается в нелинейное уравнение. Если это уравнение имеет лишь конечное число корней (например, если нелинейности представляются полиномами) $y_j, j = 1, \dots, k$, то достаточно доказать, что гиперплоскости $y = y_j$ ($C^T x = y_j$) не являются притягивающими множествами системы (2.1), что, в свою очередь заведомо выполняется, если матрица A неустойчива. Таким образом, условие ПВ зачастую допускает эффективную проверку.

Рассмотрим теперь другое решение поставленной задачи, в котором используются алгоритмы настройки высокого порядка (*high-order tuners*). С этой целью используем следующий настраиваемый наблюдатель:

$$(3.10) \quad \dot{\hat{x}} = A\hat{x} + \varphi_0(y) + b\nu(y, \hat{\theta}) + k(y - \hat{y}), \quad \hat{y} = c^T \hat{x},$$

в котором $\nu(y, \hat{\theta})$ – настраиваемая обратная связь, уравнение которой будет приведено ниже.

Для рассматриваемой системы уравнение ошибки принимает вид

$$\dot{e} = Fe + b(\varphi(t)^T \theta - \nu), \quad e = c^T \varepsilon,$$

т.е. может быть преобразовано к уравнениям в форме «вход–выход»

$$(3.11) \quad e = H(p)[\varphi(t)^T \theta - \nu].$$

Выберем передаточную функцию $W(s)$ как

$$W(s) = (s + \lambda)H(p),$$

где λ – произвольная положительная постоянная. Тогда уравнение (3.11) можно записать в виде

$$(3.12) \quad e = \frac{1}{p + \lambda} [\bar{\omega}(t)^T \theta - W(p)[\nu]],$$

где $\bar{\omega}(t) = W(p)[\varphi(t)]$.

Исходя из вида уравнения ошибки (3.12), выберем настраиваемую обратную связь в форме

$$(3.13) \quad \nu = W(p)^{-1} [\bar{\omega}(t)^T \hat{\theta}],$$

где $\hat{\theta}$ – вектор настраиваемых параметров. Для осуществления обратной связи (3.13) следует получить не только настраиваемые параметры $\hat{\theta}$, но также и их производные, вплоть до порядка $(r - 1)$ включительно, где r – относительная степень передаточной функции $H(s)$. Для преодоления указанной трудности, связанной с дифференцированием сигнала $\hat{\theta}$, используем следующий алгоритм адаптации:

$$(3.14) \quad \dot{\hat{\psi}}_i = \bar{\omega}_i e,$$

$$(3.15) \quad \dot{\hat{\eta}}_i = (1 + \mu \bar{\omega}^T \bar{\omega})(\Gamma \eta_i + h \hat{\psi}_i),$$

$$(3.16) \quad \dot{\hat{\theta}}_i = l^T \eta_i,$$

где $i = 1, \dots, m$, $\mu > 0$ – параметр алгоритма, (l, Γ, h) – минимальная реализация звена с передаточной функцией $\alpha(0)/\alpha(s)$, знаменатель $\alpha(s)$ которой является гурвицевым многочленом порядка $(r - 2)$, т.е. выполнено $\alpha(0)/\alpha(s) = l^T (sI - \Gamma)^{-1} h$.

Замечание. При $r \leq 2$ нет необходимости в использовании дополнительных фильтров (3.15), (3.16). Для этого частного случая алгоритм адаптации принимает вид $\dot{\hat{\theta}} = \bar{\omega} e$.

Справедлива следующая теорема о синхронизации.

Теорема 2. *Замкнутая система, состоящая из ведущей системы (2.1), наблюдателя (3.10) и настраиваемой обратной связи (3.13)–(3.16), имеет следующие свойства:*

i) для любых начальных условий и любого μ , такого, что выполнено неравенство

$$\mu > \frac{3}{4\lambda} (|l| + |PF^{-1}h|)^2,$$

в котором положительно определенная матрица P удовлетворяет уравнению $F^T P + PF = -2I$, все переменные замкнутой системы ограничены и достигается стремление к нулю (3.8);

*ii) если вектор-функция $\varphi(t)$ удовлетворяет условию ПВ и передаточная функция $H(s)$ минимально-фазовая, то кроме выполнения *i* имеет место асимптотическая сходимость (3.9).*

Доказательство теоремы основано на стандартных рассуждениях, см., например, [22, 31].

Рассмотрим теперь более общий случай, в котором ведущая система описывается уравнениями

$$(3.17) \quad \dot{x} = A(y)x + \varphi_0(y) + b\varphi(y)^T \theta, \quad y = c^T x.$$

Используем для этого случая следующие дополнительные предположения.

Предположение 3. *Существуют вектор-функция $k(y) \in \mathbb{R}^n$ и скалярная функция $V(x)$ такие, что*

$$\begin{aligned} c_1 |x|^2 &\leq V(x) \leq c_2 |x|^2, \\ \frac{\partial V}{\partial x}(x) (A(c^T x) - k(c^T x)c^T) x &\leq -c_3 |x|^2, \\ \left| \frac{\partial V}{\partial x} \right| &\leq c_4 |x|, \end{aligned}$$

где c_i – некоторые положительные постоянные ($i = \overline{1, 4}$).

Предположение 4. При любом ограниченном y все элементы матрицы $A(y)$ также ограничены.

Предположение 3, другими словами, означает экспоненциальную устойчивость автономной системы

$$\dot{x} = G(c^T x)x,$$

где $G(c^T x) = G(y) = A(y) - k(y)c^T$.

Следует отметить, что описанные выше методы синтеза неприменимы к системам вида (3.17). Поэтому предложим еще один метод, представляющий собой разновидность метода с расширенным сигналом ошибки. С этой целью введем настраиваемый наблюдатель вида

$$(3.18) \quad \dot{\hat{x}} = A(y)\hat{x} + \varphi_0(y) + b\varphi(y)^T \hat{\theta} + k(y)(y - \hat{y}), \quad \hat{y} = c^T \hat{x},$$

в котором изменяющаяся во времени вектор-функция $k(y(t))$ выбирается так, чтобы выполнялось предположение 3. Модель ошибки в этом случае принимает вид

$$(3.19) \quad \dot{\varepsilon} = G(t)\varepsilon + b\varphi(t)^T \tilde{\theta}, \quad e = c^T \varepsilon,$$

где $G(t) = G(c^T x(t))$.

Определим теперь расширенный сигнал ошибки как

$$(3.20) \quad \hat{e} = e + c^T \eta,$$

где добавочный вектор η вырабатывается следующими фильтрами

$$(3.21) \quad \dot{\eta} = G(t)\eta - \Omega \hat{\theta}, \quad \eta \in \mathbb{R}^n,$$

$$(3.22) \quad \dot{\Omega} = G(t)\Omega + b\varphi(t)^T, \quad \Omega \in \mathbb{R}^{n \times n}.$$

Тогда согласно [39] можно использовать алгоритм адаптации вида

$$(3.23) \quad \dot{\hat{\theta}} = \gamma \omega^T \hat{e},$$

где $\omega = c^T \Omega$.

Сформулируем теорему.

Теорема 3. Замкнутая система, состоящая из ведущей системы (3.17), настраиваемого наблюдателя (3.18), фильтров расширенного сигнала ошибки (3.20)–(3.22) и алгоритма адаптации (3.23), обладает следующими свойствами:

i) для любых начальных условий и любого $\gamma > 0$ все переменные, входящие в замкнутую систему, ограничены и достигается сходимость к нулю (3.8);

ii) если, кроме того, вектор-функция $\varphi(t)$ удовлетворяет условию ПВ, то имеет место асимптотическая сходимость (3.9).

Доказательство теоремы 3 дано в Приложении.

4. Робастный адаптивный наблюдатель для системы с шумами измерения

Широко известно, что алгоритмы адаптации, основанные на операции «чистого» интегрирования, могут потерять устойчивость при действии внешних возмущений или шумов измерения [22, 41, 42]. Для сохранения устойчивости адаптивных систем

в этих условиях разрабатываются различные способы робастификации («огрубления») алгоритмов адаптации. Две такие модификации для предложенных в разделе 3 алгоритмов представлены в данном разделе.

Обратимся к случаю действия аддитивных возмущений в канале связи, т.е. будем считать, что вместо истинного сигнала с выхода ведущей системы y на ведомую систему поступает сигнал с помехой (2.2).

Для обеспечения устойчивости процесса адаптации в этих условиях предлагается адаптивный наблюдатель с расширенным сигналом ошибки, который описывается уравнениями

— *настраиваемый наблюдатель*

$$(4.1) \quad \dot{\hat{x}} = A\hat{x} + \varphi_0(y_r) + b\varphi(y_r)^T \hat{\theta} + k(y_r - \hat{y}), \quad \hat{y} = c^T \hat{x},$$

— *формирователь сигнала расширенной ошибки*

$$(4.2) \quad \bar{e} = y_r - \hat{y} + H(p)[\bar{\varphi}(t)^T \hat{\theta}] - \bar{\omega}(t)^T \hat{\theta},$$

где $\bar{\varphi}(t) = \varphi(y_r(t))$, $\bar{\omega}(t) = H(p)[\bar{\varphi}(t)]$,

— *робастифицированный алгоритм адаптации*

$$(4.3) \quad \dot{\hat{\theta}} = \gamma \bar{\omega}(t) \bar{e} - \alpha(\hat{\theta}) \hat{\theta},$$

в котором функция $\alpha(\hat{\theta})$ удовлетворяет соотношениям

$$(4.4) \quad \alpha(\hat{\theta}) = \begin{cases} 0, & |\hat{\theta}| < \theta^*, \\ \left(\frac{|\hat{\theta}|}{\theta^*} - 1 \right), & \theta^* \leq |\hat{\theta}| \leq 2\theta^*, \\ 1, & |\hat{\theta}| > 2\theta^* \end{cases}$$

с некоторой положительной постоянной θ^* .

Сформулируем результат о свойствах робастифицированной замкнутой системы.

Теорема 4. Замкнутая система, состоящая из ведущей системы (2.1), (2.2), настраиваемого наблюдателя (4.1), формирователя расширенного сигнала ошибки (4.2) и алгоритма адаптации (4.3), (4.4), обладает следующими свойствами:

i) для любых начальных условий и любых $\gamma > 0$, $\theta^ > 0$ все переменные в замкнутой системе ограничены и вектор оценок $\hat{\theta}$ попадает в предельное множество*

$$(4.5) \quad D = \left\{ \tilde{\theta} : |\tilde{\theta}|^2 \leq \max [(|\theta| + 2\theta^*)^2, \gamma \|\xi + \xi_e\|_\infty^2 + |\theta|^2] \right\},$$

где ограниченная переменная ξ_e удовлетворяет уравнениям

$$(4.6) \quad \dot{\Xi}_e = F\Xi_e + \varphi_0(y) - \varphi_0(y_r) + b(\varphi(y) - \varphi(y_r))^T \theta - k\xi, \quad \xi_e = c^T \Xi_e;$$

ii) если $\xi(t) \equiv 0$ и $\theta^ > |\theta|$, то, кроме (i), обеспечивается затухание (3.8) к нулю;*

iii) если, кроме того, вектор-функция $\varphi(t)$ удовлетворяет условию ПВ, а передаточная функция $H(s)$ минимально-фазовая, то достигается сходимость (3.9).

Доказательство теоремы 4 дано в Приложении.

Для распространения полученного результата на случай присутствия шумов измерений выхода ведущей системы (3.17), (2.2), используем адаптивный наблюдатель с расширенным сигналом ошибки, описываемый уравнениями:

— настраиваемый наблюдатель

$$(4.7) \quad \dot{\hat{x}} = A(y_r)\hat{x} + \varphi_0(y_r) + b\varphi^T(y_r)\hat{\theta} + k(y_r)(y_r - \hat{y}), \quad \hat{y} = c^T\hat{x},$$

— формирователь сигнала расширенной ошибки

$$(4.8) \quad \bar{e} = y_r - \hat{y} + c^T\bar{\eta},$$

$$(4.9) \quad \dot{\bar{\eta}} = \bar{G}(t)\bar{\eta} - \bar{\Omega}\dot{\hat{\theta}}, \quad \bar{\eta} \in \mathbb{R}^n,$$

$$(4.10) \quad \dot{\bar{\Omega}} = \bar{G}(t)\bar{\Omega} + b\bar{\varphi}(t)^T, \quad \bar{\Omega} \in \mathbb{R}^{n \times n},$$

где $\bar{G}(t) = A(y_r(t)) - k(y_r(t))c^T$,

— робастифицированный алгоритм адаптации

$$(4.11) \quad \dot{\hat{\theta}} = \gamma\bar{\omega}(t)\bar{e} - \alpha(\hat{\theta})\hat{\theta},$$

где $\bar{\omega}(t) = c^T\bar{\Omega}(t)$, а функция $\alpha(\hat{\theta})$ удовлетворяет условию (4.4).

Сформулируем теорему о робастифицированном адаптивном наблюдателе в условиях помех.

Теорема 5. *Замкнутая система, состоящая из ведущей системы (3.17), (2.2), настраиваемого наблюдателя (4.7), формирователя расширенного сигнала ошибки (4.8)–(4.10) и алгоритма адаптации (4.11), (4.4), обладает следующими свойствами:*

i) при любых начальных условиях и любых $\gamma > 0$, $\theta^ > 0$ все переменные в замкнутой системе ограничены и параметрическая ошибка $\tilde{\theta}$ попадает в предельное множество*

$$(4.12) \quad D = \left\{ \tilde{\theta} : |\tilde{\theta}|^2 \leq \max \left((|\theta| + 2\theta^*)^2, \gamma \|\xi + \xi_y\|_\infty^2 + |\theta|^2 \right) \right\},$$

где ограниченная переменная ξ_y удовлетворяет уравнениям:

$$\begin{aligned} \dot{\Xi}_y &= \bar{G}(t)\Xi_y + \varphi_0(y) - \varphi_0(y_r) + b(\varphi(y) - \varphi(y_r))^T\theta - k(y_r)\xi + (A(y) - A(y_r))x, \\ \xi_y &= c^T\Xi_y; \end{aligned}$$

ii) если $\xi(t) \equiv 0$ и $\theta^ > |\theta|$ то в дополнение к (i) обеспечивается стремление к нулю (3.8);*

iii) если, кроме того, вектор-функция $\varphi(t)$ удовлетворяет условию ПВ, а передаточная функция $H(s)$ — минимально-фазовая, то обеспечивается сходимость (3.9).

Доказательство теоремы 4 дано в Приложении.

5. Пример. Передача информации на основе адаптивной синхронизации управляемых хаотических систем Лоренца

5.1. Синтез адаптивного наблюдателя с расширенным сигналом ошибки для системы Лоренца

Рассмотрим в качестве примера применение предложенного метода адаптивной синхронизации к хаотической системе Лоренца.

Пусть в качестве ведущей системы используется *система Лоренца*, описываемая следующими уравнениями [8, 13, 23, 43]:

$$(5.1) \quad \begin{cases} \dot{x}_1 = \sigma x_2 - \sigma x_1, \\ \dot{x}_2 = -x_2 - x_1 x_3 + \theta x_1, \\ \dot{x}_3 = -\beta x_3 + x_1 x_2. \end{cases}$$

Постоянные параметры β , σ считаем известными (т.е. их значения могут быть использованы при синтезе ведомой системы), а параметр θ является переменным, его значения меняются в зависимости от передаваемой полезной информации (передаваемого сообщения) и должны быть восстановлены наблюдателем. Предполагается также, что компонент x_1 вектора состояния служит выходным сигналом ведущей системы, $y \equiv x_1$.

Очевидно, что система (5.1) является частным случаем (3.17), в котором:

$$(5.2) \quad A(y) = \begin{bmatrix} -\sigma & \sigma & 0 \\ 0 & -1 & -y \\ 0 & y & -\beta \end{bmatrix}, \quad b = \begin{bmatrix} 0 \\ 1 \\ 0 \end{bmatrix},$$

$$\varphi_0(y) = [0, 0, 0], \quad \varphi(y) = y, \quad c^T = [1, 0, 0].$$

Нетрудно видеть, что предположение 4 для данной системы выполняется. Как следует из предположения 3, чтобы применить теорему 3, нужно найти вектор-функцию $k(y) \in \mathbb{R}^3$ такую, чтобы система $\dot{x} = (A(y) - k(y)c^T)x$, $y = c^T x$ была асимптотически устойчивой. Для этого выберем $k(y) \equiv k = [0, -\sigma, 0]^T$. Тогда матричная функция $G(y) = A(y) - k(y)c^T$ представляет собой сумму диагональной и кососимметрической матриц:

$$(5.3) \quad G(y) = \begin{bmatrix} -\sigma & \sigma & 0 \\ -\sigma & -1 & -y \\ 0 & y & -\beta \end{bmatrix}.$$

Легко убедиться, что при таком выборе предположение 3 выполняется. Действительно, рассмотрим систему $\dot{x} = G(c^T x)x$, у которой матрица $G(y)$ определяется выражением (5.3), и введем функцию Ляпунова $V(x) = \frac{1}{2}x^T x$. Дифференцируя функцию $V(x(t))$ по t , получим

$$\begin{aligned} \dot{V}(x) &= \frac{1}{2}x^T (G(c^T x)^T + G(c^T x))x = \\ &= x^T \begin{bmatrix} -\sigma & 0 & 0 \\ 0 & -1 & 0 \\ 0 & 0 & -\beta \end{bmatrix} x = -\sigma x_1^2 - x_2^2 - \beta x_3^2 \leq c_3 |x|^2 \end{aligned}$$

при $c_3 = \min\{\sigma, 1, \beta\}$, откуда непосредственно вытекает *экспоненциальная устойчивость* системы $\dot{x} = G(c^T x)x$. Таким образом, предположения 3 и 4 выполнены, что позволяет применить теорему 3. Настраиваемый наблюдатель для ведущей системы в форме системы Лоренца (5.1) описывается уравнением (3.18) с матрицами вида (5.2). Для оценивания неизвестного параметра θ (и, следовательно, для восстановления сообщения) в наблюдателе реализуется алгоритм настройки (3.20)–(3.23) с $n = 3$. При значительном уровне помех в канале связи следует использовать робастифицированный алгоритм адаптации (4.3), (4.4). Рассмотрим некоторые численные примеры применения предложенного метода для передачи сообщений на основе модуляции генератора Лоренца.

5.2. Численный пример: восстановление сигнала вида «прямоугольная волна»

Используем алгоритм (3.18), (3.20)–(3.23) для восстановления значения параметра θ ведущей системы (5.1). Выше предполагалось, что θ является неизвестной постоянной величиной. В системах передачи информации параметр θ меняется в соответствии с передаваемыми данными, $\theta = \theta(t)$. Поэтому применимость предложенного метода будет зависеть от скорости настройки параметра $\hat{\theta}(t)$ наблюдателя. Для ее определения воспользуемся численным моделированием.

В рассматриваемом примере имеется система, заданная следующими уравнениями:

— ведущая система:

$$(5.4) \quad \begin{cases} \dot{x}_1 = \sigma x_2 - \sigma x_1, \\ \dot{x}_2 = -x_2 - x_1 x_3 + r(1 + \vartheta(t))x_1, \\ \dot{x}_3 = -\beta x_3 + x_1 x_2, \\ y(t) = x_1(t), \end{cases}$$

где r — известная постоянная, $\vartheta(t)$ — переменный параметр. В системах связи, использующих модуляцию хаотического генератора, $\vartheta(t)$ играет роль *информационного сигнала*. В рассматриваемом примере имеет место $\theta(t) = r(1 + \vartheta(t))$;

— настраиваемый наблюдатель:

$$(5.5) \quad \begin{cases} \dot{\hat{x}}_1 = \sigma \hat{x}_2 - \sigma \hat{x}_1, \\ \dot{\hat{x}}_2 = -\hat{x}_2 - y_r(t)\hat{x}_3 + \sigma e(t) + r(1 + \hat{\vartheta}(t))y_r(t), \\ \dot{\hat{x}}_3 = -\beta \hat{x}_3 + y_r(t)\hat{x}_2, \\ e(t) = y_r(t) - \hat{x}_1(t), \end{cases}$$

где $e(t)$ служит *ошибкой наблюдения*, $y_r(t)$ — измеряемый сигнал на входе ведомой системы (для систем связи y_r является *принимаемым сигналом*). При отсутствии возмущений выполнено $y_r(t) \equiv y(t)$;

— формирователь сигнала расширенной ошибки:

$$(5.6) \quad \begin{cases} \dot{\Omega}_1 = \sigma \Omega_2 - \sigma \Omega_1, \\ \dot{\Omega}_2 = -\sigma \Omega_1 - \Omega_2 + y_r(t)\Omega_3, \\ \dot{\Omega}_3 = -\beta \Omega_3 + y_r(t)\Omega_2, \\ \omega(t) = \Omega_1(t), \end{cases}$$

$$(5.7) \quad \begin{cases} \dot{\eta}_1 = \sigma \eta_2 - \sigma \eta_1 - \Omega_1(t)\hat{\vartheta}(t), \\ \dot{\eta}_2 = -\sigma \eta_1 - \eta_2 + y_r(t)\eta_3 - \Omega_2(t)\hat{\vartheta}(t), \\ \dot{\eta}_3 = -\beta \eta_3 + y_r(t)\eta_2 - \Omega_3(t)\hat{\vartheta}(t); \end{cases}$$

— алгоритм адаптации:

$$(5.8) \quad \begin{cases} \dot{\hat{e}}(t) = e(t) + c^T \eta(t), \\ \dot{\hat{\vartheta}} = \gamma \omega \hat{e}, \quad \hat{\vartheta}(0) = \hat{\vartheta}_0, \end{cases}$$

где положительный параметр $\gamma > 0$ играет роль *коэффициента усиления* алгоритма.

При моделировании взяты следующие значения параметров системы (5.5)–(5.8): $\sigma = 10$, $\beta = 8/3$, $r = 97$, $\gamma = 0,45$. В качестве информационного сигнала $\vartheta(t)$ использована «прямоугольная волна». Результаты представлены на рис. 1, 2.

График сигнала на входе ведомой системы $y_r(t)$ показан на рис. 1, а. На рис. 1, б представлены графики исходного информационного сигнала $\vartheta(t)$ и сигнала, восстановленного адаптивным наблюдателем (5.5)–(5.8).

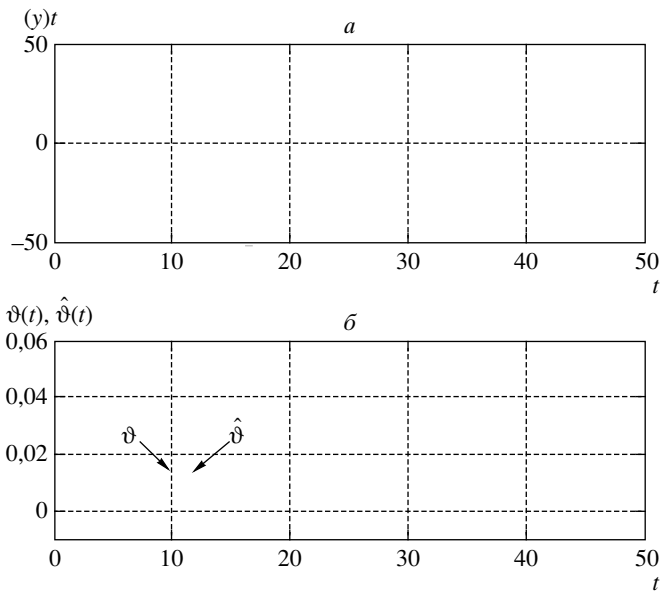


Рис. 1. *a* – хаотический сигнал на входе ведомой системы $y_r(t)$; *b* – информационный сигнал в ведущей системе $v(t)$ и его оценка $\hat{v}(t)$ ведомой системой. Алгоритм (5.5)–(5.8).

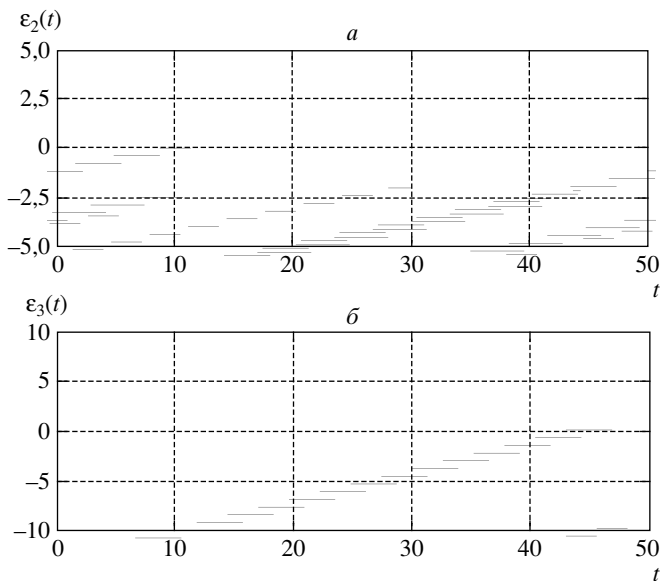


Рис. 2. Графики ошибок оценок состояния $\varepsilon_2(t)$, $\varepsilon_3(t)$ по алгоритму (5.5)–(5.8).

На рис. 2 отражены компоненты вектора ошибки оценок состояния $\varepsilon_i(t) = x_i(t) - \hat{x}_i(t)$, где $i = 1, 2$. Результаты моделирования показывают, что процесс адаптации по предложенному алгоритму протекает с высокой скоростью и что время идентификации неизвестного параметра по данному алгоритму близко ко времени, за которое происходит синхронизация процессов ведущей и ведомой систем.

6. Заключение

Получен общий метод нелинейной адаптивной синхронизации хаотических систем, основанный на изложенном в [17, 20, 21, 25] подходе и предложенных в [22, 31, 32] алгоритмах адаптации. Данный метод дает возможность использовать *непассивизируемые* нелинейные системы, в частности системы, относительный порядок которых превышает единицу, в качестве источников хаотических сигналов для передачи информации на основе адаптивной синхронизации. Применение предложенного метода позволит расширить класс источников хаотического сигнала и повысить скрытность передаваемой информации.

В работе предложены два вида алгоритмов адаптивной синхронизации: алгоритмы, использующие адаптивные наблюдатели с расширенным сигналом ошибки, и алгоритмы настройки повышенного порядка. Для случая отсутствия шумов (искажений) в канале связи установлены условия, обеспечивающие асимптотическую сходимость процесса идентификации (теоремы 1–3). Предложена также робастная модификация алгоритмов адаптивной синхронизации, предназначенная для использования в системах с шумом в канале связи (теоремы 4–5).

Теоретические результаты иллюстрируются примером адаптивной синхронизации управляемых хаотических систем Лоренца. Компьютерным моделированием получены реализации процессов в системе, показывающие высокое быстродействие алгоритма адаптивной синхронизации и идентификации параметров, что говорит о перспективе применения предложенных алгоритмов для передачи информации модуляцией хаотических сигналов.

ПРИЛОЖЕНИЕ

Доказательство теоремы 1. Как известно [22, 38], с точностью до экспоненциально затухающего слагаемого, зависящего от начальных условий, можно представить расширенный сигнал ошибки \hat{e} (3.6) следующей эквивалентной моделью:

$$(П.1) \quad \hat{e} = \omega(t)\tilde{\theta}.$$

При этом производные от экспоненциально затухающих членов останутся таковыми и при дифференцировании, что обосновывает корректность дифференцирования равенства (П.1). Вычисляя производную от функции Ляпунова $V(\tilde{\theta}) = \frac{1}{2\gamma}\tilde{\theta}^T\tilde{\theta}$, в силу системы (3.5) и с учетом выражения (П.1) получим, что $\dot{V}(\tilde{\theta}) = -\hat{e}^2$. Из последнего выражения следует ограниченность переменной $\hat{\theta}$. Так как правые части (2.1), (3.2), (3.5) локально-липшицевы по x , \hat{x} , а $\hat{\theta}$ равномерна по t [29], то отсюда следует, что $\hat{e}(t)$ стремится к нулю. В силу ограниченности $\omega(t)$ из выражения (3.5) следует, что $\hat{\theta} \rightarrow 0$ при $t \rightarrow \infty$. Таким образом, из выражения (3.6) получим, что $e - \hat{e} \rightarrow 0$ и, следовательно, $e \rightarrow 0$, что доказывает справедливость утверждения *i*. Справедливость утверждения *ii* доказывается стандартным образом [22, 38].

Доказательство теоремы 3. Дифференцируя следующее выражение для вспомогательной ошибки $\delta = \varepsilon + \eta - \Omega\theta$ и учитывая (3.19), (3.21), получим, что

$$\dot{\delta} = G\varepsilon + b\varphi^T\tilde{\theta} + G\eta - \dot{\Omega}\hat{\theta} - G\Omega\hat{\theta} - b\varphi^T\tilde{\theta} + \Omega\dot{\hat{\theta}} = G(\varepsilon + \eta - \Omega\tilde{\theta}) = G\delta.$$

Тогда расширенный сигнал ошибки, который определяется выражением (3.20), можно представить в виде $\hat{e} = \omega^T\tilde{\theta} + \delta_e$, в котором слагаемое $\delta_e = c^T\delta$ экспоненциально убывает. Тогда, используя рассуждения, приведенные при доказательстве

теоремы 1, можно показать ограниченность всех сигналов в контуре обратной связи, выполнение условия (3.8) и при выполнении условия ПВ – справедливость (3.9).

Доказательство теоремы 4. Дифференцируя по времени ошибку оценивания $\varepsilon = x - \hat{x}$ с учетом уравнений (2.1), (2.2), (4.1), после несложных преобразований получим выражение

$$(П.2) \quad \dot{\varepsilon} = F\varepsilon + b\bar{\varphi}(t)^T\tilde{\theta} + \Delta(t),$$

где $\Delta(t) = \varphi_0(y) - \varphi_0(y_r) + b(\varphi(y) - \varphi(y_r))^T\theta - k\xi$.

Поэтому расширенный сигнал ошибки $\bar{\varepsilon}$, заданный уравнением (4.2), принимает вид

$$(П.3) \quad \bar{\varepsilon} = \bar{\omega}(t)^T\tilde{\theta} + \xi_e + \xi,$$

где ограниченная переменная ξ_e удовлетворяет уравнениям (4.6).

Используем функцию Ляпунова вида $V(\tilde{\theta}) = \frac{1}{2}\tilde{\theta}^T\tilde{\theta}$. Ее производная по времени в силу системы (4.3), (П.3) имеет вид

$$\begin{aligned} \dot{V}(\tilde{\theta}) &= \tilde{\theta}^T(-\gamma\bar{\omega}\bar{\varepsilon} - \alpha\tilde{\theta} + \alpha\theta) = \tilde{\theta}^T(-\gamma\bar{\omega}\bar{\omega}^T\tilde{\theta} - \gamma\bar{\omega}(\xi_e + \xi) - \alpha\tilde{\theta} + \alpha\theta) \leq \\ &\leq -\gamma|\bar{\omega}^T\tilde{\theta}|^2 - \sigma|\tilde{\theta}|^2 + \gamma|\bar{\omega}^T\tilde{\theta}|\|\xi_e + \xi\|_\infty + \alpha|\tilde{\theta}||\theta| \leq \\ &\leq -\frac{1}{2}\gamma|\bar{\omega}^T\tilde{\theta}|^2 - \frac{1}{2}\alpha|\tilde{\theta}|^2 + \frac{1}{2}\gamma\|\xi_e + \xi\|_\infty^2 + \frac{1}{2}\alpha|\theta|^2 \leq \\ &\leq -\frac{1}{2}\alpha|\tilde{\theta}|^2 + \frac{1}{2}\gamma\|\xi_e + \xi\|_\infty^2 + \frac{1}{2}\alpha|\theta|^2. \end{aligned}$$

Из последнего неравенства следует ограниченность всех переменных, входящих в замкнутую систему, и выполнение неравенства, входящего в правую часть (4.5).

Если $\xi(t) \leq 0$ и $\theta^* > |\theta|$, то для производной по времени от функции Ляпунова $V(\tilde{\theta}) = \frac{1}{2}\tilde{\theta}^T\tilde{\theta}$ выполнено $\dot{V}(\tilde{\theta}) = -\gamma|\bar{\omega}^T\tilde{\theta}|^2 + \gamma\sigma(\hat{\theta})\tilde{\theta}^T\hat{\theta} \leq -\gamma|\bar{\omega}^T\tilde{\theta}|^2$. Из последнего неравенства следует справедливость (3.8).

Доказательство теоремы 5. Дифференцируя по времени ошибку оценивания $e = x - \hat{x}$ с учетом (3.17), (2.2), (4.7), после несложных преобразований получим выражение

$$(П.4) \quad \dot{\varepsilon} = \bar{G}(t)\varepsilon + b\bar{\varphi}(t)^T\tilde{\theta} + \Delta(t),$$

где $\Delta(t) = (A(y) - A(y_r))x + \varphi_0(y) - \varphi_0(y_r) + b(\varphi(y) - \varphi(y_r))^T\theta - k(y_r)\xi$. Дифференцируя теперь вспомогательную ошибку $\Xi_\delta = \varepsilon + \bar{\eta} - \bar{\Omega}\tilde{\theta}$, с учетом (П.4), (4.12), (4.10) получим

$$\begin{aligned} \dot{\Xi}_y &= \bar{G}(t)\Xi_y + \varphi_0(y) - \varphi_0(y_r) + b(\varphi(y) - \varphi(y_r))^T\theta - \\ &- k(y_r)\xi + (A(y) - A(y_r))x, \quad \xi_y = c^T\Xi_y. \end{aligned}$$

Таким образом, расширенный сигнал ошибки $\bar{\varepsilon}$, определенный выражением (4.8), можно представить в виде $\bar{\varepsilon} = \bar{\omega}^T\tilde{\theta} + \xi_\delta + \xi$, где $\xi_\delta = c^T\Xi_\delta$. Используя теперь подход, принятый при доказательстве теоремы 4, убеждаемся в справедливости утверждений теоремы 5.

СПИСОК ЛИТЕРАТУРЫ

1. *Блехман И.И.* Синхронизация динамических систем. М.: Наука, 1971.
2. *Блехман И.И.* Вибрационная механика. М.: Наука, 1994.
3. *Пиковский А.Б., Розенблюм М.Б., Куртс Ю.* Синхронизация. Фундаментальное нелинейное явление. М.: Техносфера, 2003.
4. *Леонов Г.А., Смирнова В.Б.* Математические проблемы теории фазовой синхронизации. СПб.: Наука, 2000.
5. *Линдсей В.* Системы синхронизации в связи и управлении. М.: Мир, 1978.
6. *Pecora L.M., Carroll T.L.* Synchronization in chaotic systems // *Phys. Rev. Lett.* 1990. V. 64. P. 821–823.
7. *Fradkov A.L., Pogromsky A.Yu.* Introduction to control of oscillations and chaos. Singapore: World Scientific Publishers, 1998.
8. *Андриевский Б.Р., Фрадков А.Л.* Избранные главы теории автоматического управления с примерами на языке MATLAB. СПб.: Наука, 1999.
9. *Дмитриев А.С., Панас А.И., Старков С.О.* Динамический хаос как парадигма современных систем связи // *Заруб. радиоэлектроника.* 1997. № 10. С. 4–26.
10. *Дмитриев А.С., Панас А.И.* Динамический хаос: новые носители информации для систем связи. М.: Изд-во физ.-мат. лит. 2002.
11. *IEEE Trans. Circ. Syst.* Special issue on applications of chaos in modern communication systems / Eds. L. Kocarev, G.M. Maggio, M. Ogorzalek et al. 2001. V. 48. № 12.
12. *Int. J. Circuit Theory Appl.* Special issue: Commun. Inform. Proc. Control Using Chaos / Eds. M. Hasler, J. Vandewalle. 1999. V. 27. № 6.
13. *IEEE Trans. Circuits Syst.,* Special issue: Chaos control and synchronization / Eds. M. Kennedy, M. Ogorzalek, 1997. V. 44. № 10.
14. *Int. J. Circuit Theory Appl.* Special issue: Communications, Information Processing and Controlling Chaos / Eds. M. Hasler, J. Vandewalle. 1999. V. 27. № 6.
15. *Kennedy M.P., Kolomban G.* Digital Communications Using Chaos / Control. Chaos Bifurcat. in Engin. Syst. / Ed. G. Chen, CRC Press, 1999. P. 477–500.
16. *Андриевский Б.Р., Фрадков А.Л.* Управление хаосом. Методы и приложения. II // *АиТ.* 2004. № 4. С. 3–34.
17. *Fradkov A.L.* Adaptive synchronization of hyper-minimum-phase systems with nonlinearities / *Proc. 3rd IEEE Mediterranean Conf. on New Directions Control.* 1995. V. 1. P. 272–277.
18. *Markov A.Yu., Fradkov A.L.* Adaptive synchronization of coupled chaotic systems // *Proc. Int. Conf. "Fractals and Chaos in Chemical Engineering".* Rome, Sept. 2–5, 1996. P. 153–154.
19. *Wu C., Yang Y., Chua L.* On adaptive synchronization and control of nonlinear dynamical systems // *Int. J. Bifurcat. Chaos.* 1996. V. 6. P. 455–471.
20. *Fradkov A.L., Markov A.Yu.* Adaptive synchronization of chaotic systems based on speed gradient method and passification // *IEEE Trans. Circ. Syst. – I.* 1997. № 10. P. 905–912.
21. *Fradkov A.L., Nijmeijer H., Markov A.Yu.* Adaptive observer-based synchronization for communications // *Int. J. Bifurcat. Chaos.* 2000. V. 10. № 12. P. 2807–2814.
22. *Мирошник И.В., Никифоров В.О., Фрадков А.Л.* Нелинейное и адаптивное управление сложными системами. СПб.: Наука, 2000.
23. *Андриевский Б.Р., Фрадков А.Л.* Элементы математического моделирования в программных средах MATLAB 5 и Scilab. СПб.: Наука, 2001.
24. *Андриевский Б.Р., Фрадков А.Л.* Метод пассивации в задачах адаптивного управления, оценивания и синхронизации // *АиТ.* 2006. № 11. С. 3–37.
25. *Andrievsky B.R., Fradkov A.L.* Information transmission by adaptive synchronization with chaotic carrier and noisy channel // *Proc. 39th IEEE Conf. Decision and Control.* Sydney. 2000. P. 1025–1030.
26. *Andrievsky B.R.* Adaptive synchronization methods for signal transmission on chaotic carriers // *Math. Comput. Simulat.* 2002. V. 58. Issue 4–6. P. 285–293.

27. *Huijberts H., Nijmeijer H., Willems R.* System identification in communication with chaotic systems // IEEE Trans. Circuits Syst. I. 2000. V. 47. № 6. P. 800–808.
28. *Дружинина М.В., Никифоров В.О., Фрадков А.Л.* Методы адаптивного управления нелинейными объектами по выходу // АИТ. 1996. № 2. С. 3–33.
29. *Krstić M., Kanellakopoulos I., Kokotović P.V.* Nonlinear and adaptive control design. N.Y.: John Wiley and Sons, 1995.
30. *Marino R.* Adaptive observers for single output nonlinear systems // IEEE Trans. Automat. Contr. 1990. V. AC-35. P. 1054–1058.
31. *Nikiforov V.O.* Robust high-order tuner of simplified structure // Automatica. 1999. V. 35. № 8. P. 1409–1415.
32. *Nikiforov V.O., Voronov K.V.* Adaptive backstepping with high-order tuner // Automatica. 2001. V. 37. P. 1953–1960.
33. *Ge S.S., Wang C.* Adaptive control of uncertain Chua's circuits // IEEE Trans. Circuits Syst. I. 2000. V. 47. № 9. P. 1397–1402.
34. *Sastry S., Bodson M.* Adaptive Control – Stability, Convergence, and Robustness. Englewood Cliffs, N.J.: Prentice-Hall, 1989.
35. *Fradkov A.L., Nikiforov V.O., Andrievsky B.R.* Adaptive observers for nonlinear nonpassifiable systems with application to signal transmission // Proc. 41th IEEE Conf. Dec. Control. Las Vegas. 2002. P. 4706–4711.
36. *Nikiforov V.O., Fradkov A.L., Andrievsky B.R.* Adaptive observer-based synchronization of nonlinear nonpassifiable systems // arXiv.org e-Print archive, <http://arxiv.org/abs/math/0509650>, 2005.
37. *Fradkov A.L., Nikiforov V.O., Andrievsky B.* Text and image transmission based on adaptive synchronization of nonlinear nonpassifiable chaotic systems // Prepr. 1st IFAC Conf. Anal. Control Chaotic Syst. “Chaos 06”, June 28–30, Reims, France, 2006.
38. *Narendra K.S., Annaswamy A.M.* Stable Adaptive Systems. Englewood Cliffs, N.J.: Prentice-Hall, 1989.
39. *Никифоров В.О., Фрадков А.Л.* Адаптивные системы управления с расширенным сигналом ошибки // АИТ. 1994. № 9. С. 3–22.
40. *Morse A.S.* High-order Parameter Tuners for Adaptive Control of Nonlinear Systems / Syst., Models and Feedback: Theory Appl. Isidori, A. and T.J. Tarn (Eds.), N.Y.: Birkhäuser, 1992.
41. *Фомин В.Н., Фрадков А.Л., Якубович В.А.* Адаптивное управление динамическими объектами. М.: Наука, 1981.
42. *Ioannou P.A., Kokotović P.V.* Instability analysis and improvement of robustness of adaptive control // Automatica. 1984. V. 20. № 5. P. 583–594.
43. *Cuomo K.M., Oppenheim A.V., Strogatz S.H.* Synchronization of Lorenz-based chaotic circuits with application to communications // IEEE Trans. Circuits Syst. II. 1993. V. 40. № 18. P. 626–633.

Статья представлена к публикации членом редколлегии Б.Т. Поляком.

Поступила в редакцию 04.12.2006